

تأثیر تیغه بدنه دارای توبرکل بر کاهش توان مصرفی شناور کانتینربر در حالت خودرانش

* حسن صیادی
استاد

حمیدرضا

حمرانی سالمی
کارشناسی ارشد،
دانشکده مهندسی مکانیک،
دانشگاه صنعتی شریف، تهران

چکیده: با توجه به اهمیت روزافزون انتشارات آلاینده در حمل و نقل دریایی و ضرورت کاهش مصرف سوخت کشتی ها، تلاش هایی به عمل آمده است تا این مسئله مورد توجه قرار گیرد. به تازگی، تیغه بدنه که به عنوان یک دستگاه ذخیره انرژی در ناحیه پاشنه کشتی نصب شده و مقاومت را کاهش می دهد، معرفی شده است. به علاوه، مطالعاتی بر روی استفاده از برآمدگی در لبه حمله هیدروفویل (توبرکل) نیز از موضوعات در حال بررسی است. هدف از این مطالعه ارزیابی تأثیر تیغه بدنه با و بدون توبرکل بر ضریب مقاومت کل و ضرایب پروانه در شرایط خودرانش است، همچنین تأثیر آنها بر مصرف انرژی کشتی مورد بررسی قرار می گیرد. نتایج نشان می دهد که برای کشتی ای که دارای تیغه بدنه با لبه حمله صاف است، ضریب مقاومت کل ۱/۷۷٪ و ۲/۸۵٪ و ضریب گشتاور ۱/۱۴٪ نسبت به کشتی بدون تیغه بدنه کاهش یافته است. علاوه بر این، برای کشتی ای که دارای تیغه بدنه با توبرکل های لبه حمله است، این ضرایب به ترتیب ۱/۸۵٪، ۳/۴۸۸٪ و ۱/۹۴٪ کاهش یافته اند. علاوه بر این، مصرف انرژی در کشتی دارای تیغه بدنه با توبرکل های لبه حمله نسبت به کشتی دارای تیغه بدنه معمولی ۰/۷۸۹٪ کاهش یافته است.

واژه های راهنمایی: کاهش مصرف سوخت، تیغه بدنه، توبرکل، خودرانش

مقاله علمی پژوهشی
دریافت: ۱۴۰۲/۰۷/۳۰
بازنگری: ۱۴۰۲/۰۹/۰۵
پذیرش: ۱۴۰۲/۰۹/۱۱

Hassan Sayyaadi*
Professor

Hamidreza
Hamrani Salemi
MSc. Student,
Department of
Mechanical
Engineering, Sharif
University of
Technology, Tehran

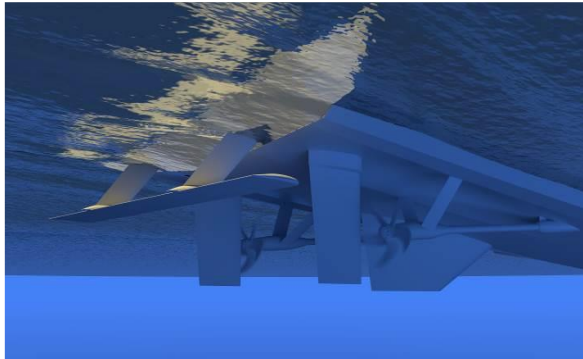
The effect of hull vane with tubercles on reducing the power consumption of the container ship in self-propulsion mode

Abstract: Given the growing importance of emissions in maritime transportation and the need to reduce ship fuel consumption, efforts have been made to address this concern. Recently, the hull vane, serving as an energy storage device, has been introduced to the ship's stern area, reducing resistance. Additionally, recent studies have explored the use of tubercles on hydrofoils. This study aims to assess the impact of hull vane, with and without tubercles, on total resistance and propeller coefficients in self-propulsion conditions, as well as their effect on vessel power consumption. Results show that for a vessel with a smooth leading-edge hull vane, the total resistance coefficient decreased by 1.77%, propeller thrust coefficient by 2.853%, and torque coefficient by 1.14% compared to a vessel without a hull vane. Furthermore, for a vessel with a leading-edge tubercles hull vane, these coefficients decreased by 1.85%, 3.488%, and 1.94% respectively. Additionally, power consumption decreased by 0.789% compared to a vessel with a regular hull vane.

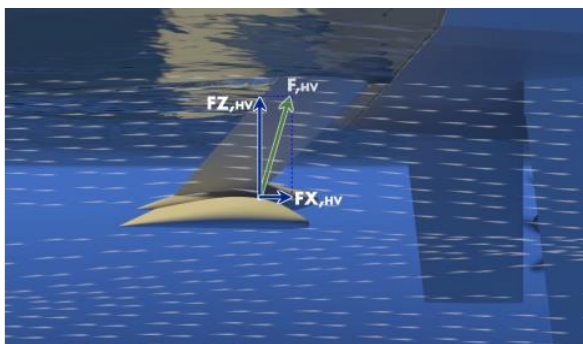
Keywords: Emission Reduction, Hull Vane, Tubercles, Self-Propulsion

۱- مقدمه

با توضیحات ذکر شده می‌توان نتیجه گرفت که تیغه بدنه یک ابزار کارآمد برای ذخیره انرژی و به تبع آن کاهش مصرف سوخت، و همچنین بهبود کیفیت دریامانی با کاهش حرکت پیچ نیز می‌باشد.



شکل ۱ پیکربندی تیغه بدنه [۱]



شکل ۲ نیروی رانش ایجاد شده از نیروی لیفت زاویه‌دار [۱]

تعدادی از مطالعات در مورد تیغه بدنه نشان می‌دهد که یک ابزار مؤثر برای کاهش قابل توجه مقاومت کشتی است. که برای جابجایی نسبتاً بالا در سرعت‌های عملیاتی گسترشده‌تر مناسب است. همچنین مؤثرترین منطقه عدد فرود برای کشتی با تیغه بدنه بین $0/2$ تا $0/7$ است [۳]. در زیر این ناحیه سرعت، نقش مؤلفه اصطکاکی یا درگ اضافی پررنگ‌تر خواهد شد. و فراتر از این منطقه سرعت، مؤلفه عمودی لیفت، ممان بسیار بالایی ایجاد می‌کند که سبب افزایش مقاومت کل می‌شود. همچنین شیوه‌سازی‌های دینامیک سیالات محاسباتی CFD نشان می‌دهند که تیغه بدنه اعمال شده در مدل $1/5$ متری سری AMERCRC منجر به کاهش $14/33$ ، $10/53$ و $8/05$ درصد مقاومت برای اعداد فرود به ترتیب $0/5$ ، $0/6$ و $0/7$ می‌شود [۳]. علاوه بر این، تحقیق بر MCFD اساس روش CFD برای تیغه بدنه بر روی ناوشکن DTB ۵۴۱۵ انجام شد [۴]. در این تحقیق نشان داده است که زمانی که سرعت به ترتیب $1/8$ ، $2/4$ و $3/0$ گره باشد، مقاومت به ترتیب $0/17$ ، $0/8/4$ و $0/6/7$ ٪ کاهش خواهد

در اواخر دهه هشتاد میلادی سازمان بین‌المللی دریانوردی فعالیت درزمینه کاهش آلودگی هوا توسط کشتی‌ها را آغاز نمود و حاصل آن تصویب ضمیمه شش مارپیل و اجباری شدن آن از سال ۲۰۰۵ میلادی می‌باشد. از آن زمان با توجه به افزایش اهمیت میزان انتشار آلاینده‌ها در صنعت حمل و نقل دریایی و مقررات سخت‌گیرانه‌تر سازمان بین‌المللی دریانوردی و هزینه بالای سوخت کشتی‌ها، مالکان کشتی به دنبال روش‌های کاهش مصرف سوخت می‌باشند. بدین منظور فعالیت‌های مختلفی در رابطه با کاهش مصرف سوخت کشتی‌ها انجام شد. از این میان استفاده از دستگاه‌های ذخیره انرژی، می‌تواند راهگشا باشد. اخیراً تیغه بدنه به عنوان یک فویل ثابت زیر آب که در ناحیه پاشنه کشتی نصب شده است، به عنوان یک دستگاه ذخیره انرژی به بازار معرفی شده است، که بیان می‌کند توانایی ذخیره انرژی با کاهش مقاومت را دارد. این وسیله توسط ون اوسان در سال ۱۹۹۲ اختراع شد [۱].

پس از سال‌ها آزمایش و بهینه‌سازی، در سال ۲۰۱۴ با ادعای کاهش مصرف سوخت به میزان 29% به طور موفقیت آمیزی آغاز شد. تیغه بدنه از لحاظ ظاهری مشابه هیدروفویل‌های سنتی است، اما اصل کاهش درگ در تیغه بدنه با هیدروفویل متفاوت است. کاهش مقاومت کلی توسط تیغه بدنه را می‌توان به چهار اثر مجزا تجزیه کرد [۱]:

- ۱- ایجاد مؤلفه رو به جلو در جهت طولی لیفت، باعث ایجاد نیروی اضافی رانشی می‌شود؛
- ۲- مؤلفه عمودی لیفت به طور موثر با ایجاد گشتاور، باعث اصلاح تریم کشتی می‌شود؛
- ۳- فشار منفی بر روی قسمت بالایی فویل، بر روی موج و تولید دنباله پاشنه تاثیر گذاشته و آن را کاهش می‌دهد؛
- ۴- در امواج، تیغه حرکات و مقاومت افزوده کشتی را کاهش می‌دهد.

شکل (۱) پیکربندی تیغه بدنه را نشان می‌دهد. به طور کلی می‌شود تیغه بدنه را در دسته‌بندی تجهیزات ذخیره انرژی پس‌چرخش قرار داد، که با توجه به جهت حرکت جریان سیال در پاشنه کشتی، نیرویی مطابق شکل (۲) بوجود می‌آید، که با تجزیه آن به مؤلفه‌های افقی و عمودی، یک نیروی تراست در راستای حرکت شناور و یک نیروی لیفت، عمود بر جهت حرکت ایجاد می‌شود.

درجه در محدوده عدد فرود ۰/۶ تا ۱/۳، با بار سرویس ۲ کیلوگرم انجام شده است. از تجزیه و تحلیل نتایج مدل شبیه سازی شده با بارگذاری مختلف نتیجه گرفته شد که فویل در بار ۲ کیلوگرم، چه با استفاده از فویل در زاویه حمله ۳ درجه و چه صفر درجه، به طور بهینه کار می کند. در زاویه حمله ۳ درجه، کاهش بهینه مقاومت در عدد فرود ۱/۱ تا ۱/۳، با کاهش پی درپی ۰/۲۳/۲۶٪، ۰/۲۱/۸۶٪ و ۰/۲۱/۴۵٪ رخ داد که در عدد فرود ۱/۱ بیشترین کاهش را داشت. در حالی که برای زاویه حمله صفر درجه، کاهش بهینه مقاومت در عدد فرود ۰/۷ تا ۰/۹، به ترتیب ۰/۷/۷۹٪، ۰/۱۸/۸۶٪ و ۰/۲۶/۷٪ کاهش می یابد که در عدد فرود ۰/۹ بیشترین کاهش مقاومت کل را دارد. درباره اثر موقعیت تیغه بر مقامات شناور با استفاده از کد دینامیک سیالات محاسباتی نیز مطالعه ای صورت گرفته است [۸]. در این تحقیق فویل استفاده شده از نوع NACA ۴۱۵ با زاویه حمله ۵ درجه، طول دهانه ۹/۷۶ متر و طول وتر ۱/۱۵ متر بود. این پژوهش برای شش مدل تیغه مختلف انجام شد (در مقاله این شش حالت آورده شده است). نتایج نشان داد که در حالت فویل تکی که در ۵۰٪ آبخور یعنی ۲/۹ متر قرار دارد هنگامی که شناور با عدد فرود ۰/۳۴۲ در حال حرکت است، مقاومت به طور بهینه ای کاهش می یابد. که این کاهش مقاومت در مقایسه با بدن بدون تیغه ۲۰/۱۳۵٪ خواهد بود. علاوه بر این، تقلید از طبیعت، یکی از راههای کلیدی در افزایش بازدهی مصنوعات ساخته شده به دست بشر است. اخیراً مطالعاتی در مورد برآمدگی های لبه حمله باله نهنگ گوژپشت انجام شده است (شکل ۳)، که نشان می دهد این بالهها قدرت مانور نهنگ گوژپشت را در هنگام تعقیب طعمه، با به تأخیر اندختن جدایش جریان در زوایای حمله بزرگ تر، به شکل مؤثری افزایش می دهند [۹]. درنتیجه این بالهها عملکرد هیدرودینامیکی و توانایی این والها را برای ایجاد حرکات تند با وجود بدن حیم را افزایش می دهند [۱۰]. این نوع از بالهای کاربردهای متنوعی را در صنایع مختلف دارا می باشند.

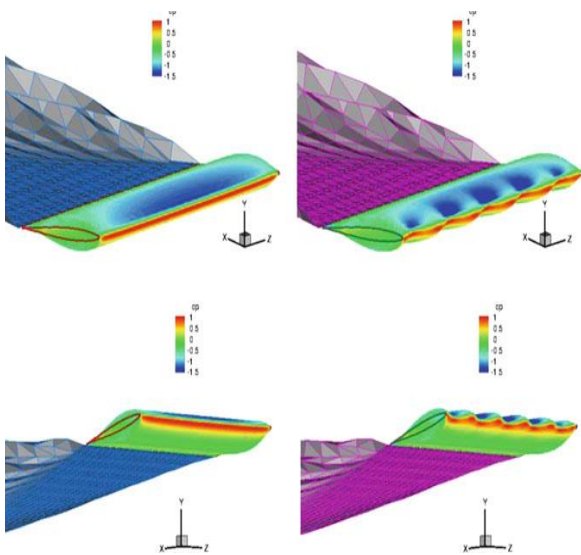


۳ نهنگ گوژپشت [۱۱]

یافته. همچنین ثابت شده است که تیغه بدن قادر به کاهش مقاومت کل به میزان ۰/۱۵٪ برای Holland Class OPV ۱۰۸ متری است [۱۱].

مطالعه دینامیک سیالات محاسباتی همچنین عملکرد کشتی در امواج را مورد تجزیه و تحلیل قرار داده است، مشاهده شد که استفاده از تیغه بدن می تواند حرکت هیو را به میزان ۰/۴٪، پیچ را به میزان ۰/۸٪ مقاومت را به میزان ۰/۴٪ در امواج ۲ متری کاهش دهد. مطالعه دیگر بر اساس شبیه سازی CFD نشان می دهد که کاربرد تیغه بدن بر روی ۱۳ AMEREC می تواند به طور قابل توجهی بر مقاومت و تریم کشتی در امواج تأثیر بگذارد [۱۱]. همچنین کاهش مقاومت تا ۰/۳۲٪ مشاهده می شود، کاهش مقاومت به موقعیت عمودی و افقی تیغه بستگی دارد. همچنین اشاره شده است که موقعیت طولی پره یا تیغه تأثیر بیشتری بر عملکرد، نسبت به موقعیت عمودی دارد.

علاوه بر این، شبیه سازی کد دینامیک سیالات محاسباتی برای بررسی تأثیر فویل پاشنه بر مقاومت کشتی انجام گرفت و آزمایش در حوضچه کشش برای اعتبار سنجی نتایج شبیه سازی انجام شد. یک مدل از بدن ۴۰ متری Orela برای این مطالعه مورد استفاده قرار گرفت. در این مطالعه مشاهده شد که، ضریب مقاومت کل، وقتی که عدد فرود پایین است، بعد از رسیدن به حداقل مقدار خود (در مانع مقاومتی)، شروع به کاهش می کند. همچنین دریافت شد، مقاومت، برای اعداد فرود کمتر از ۰/۴۵، تا بیش از ۱۳,۹٪ افزایش می یابد و در اعداد فرود بیش از ۰/۵۵ مقاومت تا بیش از ۱۰٪ کاهش می یابد، این در حالی که است که مانع مقاومتی در عدد فرود تقریبی ۰/۴۷ اتفاق می افتد [۵]. مطالعه دیگری در رابطه با تیغه بدن انجام شد [۶]. در این پژوهش تیغه بدن در ناحیه پاشنه بر روی شناورهای با ناحیه NACA بیلچ گرد نصب شد، برای شکل تیغه از هیدرو فویل ۴۴۱۲ استفاده شد. این کار بر روی شناورهای سری AMECRC و مدل های #۳، #۴، #۸ و #۱۱ و #۱۳ انجام شد. مدل های #۸ و #۱۳ کاهش قابل توجه ۷ تا ۲۹ درصدی در مقاومت را با میانگین کاهش ۰/۱۷٪ با قرار گیری تیغه بدن، از خود نشان دادند. این در حالی است که مدل های #۳ و #۴ هیچ بهبود قابل توجهی در مقاومت نشان ندادند. و درواقع مدل #۴ افزایش مقاومت را در هنگام قرار دادن تیغه بدن از خود نشان داد. همچنین در پژوهشی، به تجزیه و تحلیل کاهش مقاومت در کشتی های گشتی با سرعت بالا با استفاده از فویل عقب از طریق مدل شبیه سازی پرداخته است [۷]. این مطالعه با استفاده از دینامیک سیالات محاسباتی و با زاویه حمله ۳ و ۰



شکل ۴ روش پانل برای شبیه‌سازی بال با طول دهانه محدود تحت زاویه ۱۰ درجه، باله حمله صاف (سمت چپ) و برای لبه حمله دارای برآمدگی (سمت راست)، رنگ قرمز نشان دهنده فشار زیاد و آبی نشان دهنده فشار کم و سبز نشان دهنده فشار متوسط است [۱۵].

شبیه‌سازی RANS نشان داد که فویل با توبرکل، کانتورهای فشار سطحی، خطوط جریان و الگوی جداسازی جریان را در مقایسه با یک بخش فویل باله حمله صاف تغییر داده است (شکل ۵). فویل صاف (بدون توبرکل)، جداش و تلاطم جلوی لبه فرار را در طول فویل نشان داد. از طرفی برای فویل دارای توبرکل، جداسازی تقریباً تا لبه فرار برای نواحی پایین دست تاج توبرکل به تاخیر افتاد. این تغییر در جریان به افزایش فشار در سمت مکش مربوط می‌شود که به طور محلی گرادیان فشار معکوس را کاهش می‌دهد. توبرکل‌ها، گردابه‌های جدا شده و خمیده را در قعرها با زاویه حمله بالا تولید می‌کنند. از آنجا که جریان به طور عمودی به لبه حمله برخورد نمی‌کند، جریان در مرکز فرورفتگی‌ها به اشتراک گذاشته می‌شود. این گردابها در طول وتر منظم می‌شوند و در طول وتر انتقال پیدا می‌کنند.

این اثرات مانع از جدا شدن لایه مرزی محلی در پایین دست توبرکل‌ها شده و خط واماندگی را به سمت لبه فرار هل می‌دهد. یک آزمایش تجربی از اثر توبرکل با استفاده از یک مدل وال گوژپشت فرضی در توپل باد در آکادمی نیروی دریایی ایالات متحده انجام شد [۱۸]. دو مدل با مقیاس ۱:۴ از بال‌هایی با مقطع NACA ۰۰۲۰ با و بدون توبرکل ساخته شدند. تست‌های استاتیک بر روی طیف وسیعی از زوایای حمله در عدد رینولدز ۵۰۰۰۰۰ اجرا شدند که با سرعتی که تقریباً نصف

بوشنل و مور (۱۹۹۱) اولین کسانی بودند که نشان دادند که توبرکل‌ها می‌توانند در کنترل جریان بر روی باله وال گوژپشت نقش داشته باشند. آن‌ها پیشنهاد کردند که توبرکل‌ها ممکن است درگ را روی باله کاهش بدهند. همچنین این برآمدگی‌ها می‌توانند برای تولید گردابه به عنوان استریک در هواپیماها مورد استفاده قرار گیرند [۱۲]. همچنین توبرکل‌های وال گوژپشت به عنوان استریک به کار رفته در هواپیما در نظر گرفته شده‌اند [۱۲].

استریک‌ها^۱ ژراتورهای گردابه هستند که ویژگی‌های واماندگی^۲ یک بال را تغییر می‌دهند [۱۳]. همچنین در زوایای حمله بزرگ، استریک‌ها در مقایسه با بال‌های بدون استریک تاخیر ایجاد می‌کنند، اگرچه حداقل لیفت از تغییرات جریان توسط استریک‌ها افزایش نمی‌یابد [۱۳].

در مرجع [۱۴] با استفاده از مدل دینامیک سیالات محاسباتی اولین مطالعه مرتبط با طراحی منحصر به فرد بال وال گوژپشت را انجام دادند. یک روش پانل سه‌بعدی غیر لجر برای مدلسازی میدان جریان روی بخش‌های بال، با و بدون توبرکل در زاویه حمله ۱۰ درجه استفاده شد. مشخص شد که تنش برشی کل، بین توبرکل‌ها ۱۰٪ بیشتر از دیگر مکان‌ها در امتداد لبه حمله است (شکل ۴). نتایج تجزیه و تحلیل نشان داد که یک بال با برآمدگی لبه حمله می‌تواند لیفت را افزایش دهد در حالی که درگ القا شده را در مقایسه با بال باله حمله صاف کاهش می‌دهد. روش پانل افزایش ۴/۸ درصدی در لیفت، کاهش ۱۰/۹ درصدی در درگ القایی، و افزایش ۱۷/۶ درصدی در نسبت لیفت به درگ برای بخش‌های بال با توبرکل را نشان داد [۱۴]. همچنین فرض بر این است که توبرکل‌ها می‌توانند جدایی لایه مرزی را تغییر داده، به تاخیر اندخته و در نتیجه باعث تاخیر در واماندگی شوند.

شبیه‌سازی غیر دایم^۳ (RANS) برای جریان تراکم ناپذیر توسط جان ریفرنبرگ از دانشگاه کارنگی ملون و اریک پاترسون از دانشگاه ایالتی پنسیلوانیا انجام شد. تحلیل آن‌ها برای بررسی اثرات توبرکل‌ها بر جداسازی جریان و عملکرد هیدروفویل متقارن برای فویل پایه NACA ۶۳-۰۲۱ در یک زاویه حمله ۱۰ درجه به کار گرفته شد [۱۵]. شرایط شبیه‌سازی برای عدد رینولدز یک میلیون در نظر گرفته شد.

مقایسه بخش‌های بال با و بدون توبرکل، الگوهای جریان متفاوتی را نشان داد که بر عملکرد هیدرودینامیکی تاثیر می‌گذارند [۱۶].

³ Unsteady Reynolds Averaged Navier Stokes

¹ Strake

² Stall

$$\frac{\partial U_i}{\partial t} + \frac{\partial U_i U_j}{\partial x_j} = -\frac{1}{\rho} \frac{\partial P}{\partial x_i} + \frac{\partial}{\partial x_j} \left[\nu \left(\frac{\partial U_i}{\partial x_j} + \frac{\partial U_j}{\partial x_i} \right) \right] - \frac{\partial (\bar{u}_i \bar{u}_j)}{\partial x_j} \quad (2)$$

در معادلات فوق U_i و \bar{u}_i به ترتیب بیان‌گر سرعت متوسط و نوسانات سرعت در راستای محور مختصات x_i ، P فشار متوسط، ρ چگالی و ν ویسکوزیته سینماتیکی می‌باشد. علاوه بر این، ترم $\bar{u}_i \bar{u}_j$ بیان‌گر تنش رینولدز است، که از معادله زیر محاسبه می‌شود:

$$\bar{u}_i \bar{u}_j = -\nu_t \left(\frac{\partial U_i}{\partial x_j} + \frac{\partial U_j}{\partial x_i} \right) + \frac{2}{3} \delta_{ij} k \quad (3)$$

که در آن ν_t ویسکوزیته ادی است، که با توجه به اینکه در این فصل از مدل آشفتگی k_ω استفاده می‌شود، به شکل زیر قابل محاسبه است:

$$\nu_t = C_\mu \frac{k}{\omega} \quad (4)$$

$$\omega = \frac{\varepsilon}{k} \quad (5)$$

که در آن C_μ ثابت تجربی و k انرژی جنبشی و ε نرخ اتلاف انرژی جنبشی جریان آشفته است.

به منظور شبیه‌سازی جریان اطراف کشتی به صورت خودرانش، از مدل آشفتگی دو معادله‌ای k_ω استفاده شده است، که روابط آن به شکل زیر است.

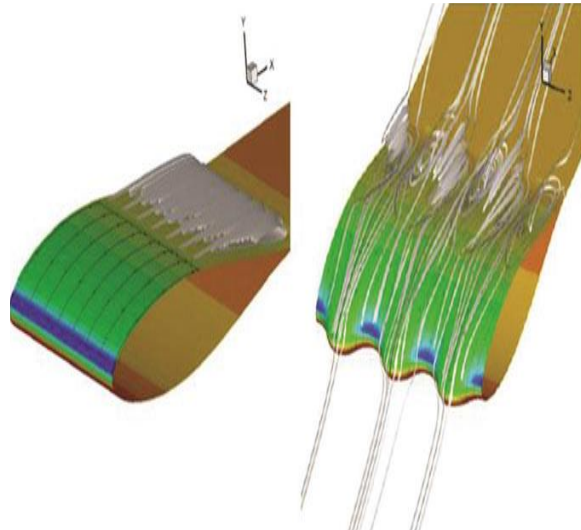
معادله انرژی جنبشی آشفتگی به صورت زیر بیان می‌شود:

$$\frac{\partial(\rho k)}{\partial t} + \frac{\partial(\rho \bar{u}_j k)}{\partial x_j} = \frac{\partial}{\partial x_j} \left[\left(\mu + \frac{\mu_t}{\sigma_k^*} \right) \frac{\partial \omega}{\partial x_j} \right] + P_k - \rho \beta^* k \omega \quad (6)$$

و سپس معادله ω به صورت زیر بیان می‌شود:

$$\frac{\partial(\rho \omega)}{\partial t} + \frac{\partial(\rho \bar{u}_j \omega)}{\partial x_j} = \frac{\partial}{\partial x_j} \left[\left(\mu + \frac{\mu_t}{\sigma_\omega^*} \right) \frac{\partial \omega}{\partial x_j} \right] + \alpha \frac{\omega}{k} P_k - \rho \beta \omega^2 \quad (7)$$

سرعت یک وال بود (۲/۶ متر بر ثانیه) صورت گرفت. لذا در پژوهش حاضر از مزایای تیغه بدنه و توپرکل‌ها به منظور بهبود عملکرد پروانه و کاهش مصرف سوخت بهره برده می‌شود. برای انجام شبیه‌سازی‌ها از نرم‌افزار استارسی‌سی‌ام‌پلاس استفاده خواهد شد.



شکل ۵ کانتور فشار و خطوط جریان در زاویه حمله ۱۰ درجه برای مقطع 21 NACA 63-021 با لبه حمله صاف (سمت چپ) و لبه حمله دارای برآمدگی (سمت راست)، که از معادلات ناویر استوکس میانگیری شده رینولدز ناپایبا استفاده شده است. خطوط جدایش بر روی بال با لبه حمله صاف مشاهده می‌شوند؛ در حالی که برای بال با لبه حمله دارای برآمدگی گردابه‌های تشکیل شده قابل مشاهده است که خطوط جریان بدون جدایش را نشان می‌دهد [۱۷]

۲- روش انجام پژوهش

در پژوهش حاضر، شبیه‌سازی عددی جهت حل جریان بر پایه معادلات ناویر استوکس میانگین‌گیری شده رینولدز ناپایدار^۱ انجام شده است.

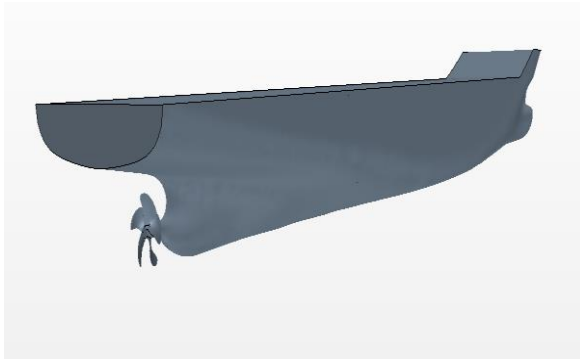
همچنین برای شبیه‌سازی از کد تجاری دینامیک سیالات محاسباتی اسارتی‌سی‌ام‌پلاس^۲ استفاده شده است. از این روش معادلات حاکم معادلات بقاء جرم و بقاء ممنتوم برای جریان ناپایدار سه‌بعدی تراکم ناپذیر با سرعت متوسط می‌باشد. از این روش معادله پیوستگی نیز به شکل زیر بیان می‌شود:

$$\frac{\partial U_i}{\partial x_j} = 0 \quad (1)$$

همچنین معادله ممنتوم نیز به صورت زیر خواهد بود:

² STAR CCM+

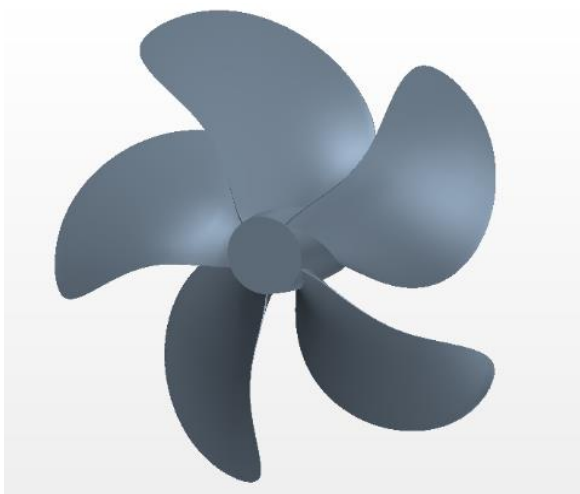
¹ URANS (Unsteady Reynolds-Averaged Navier-Stokes)



شکل ۶ نمایهایی از شناور KCS با حضور پروانه و بدن سکان

جدول ۲ ابعاد و مشخصات کشتی KCS

عنوان	نماد واحد	کشتی اصلی	کشتی مدل
	λ		۳۱/۶
طول بین دو عمود	$L_{pp}(m)$	۳۲۰	۷/۲۷۸
عرض کلی	$B(m)$	۳۲/۲	۱/۰۱۹
آبخور	$T(m)$	۱۰/۸	۰/۳۴۲
ضریب بلوكی	C_B	۰/۶۵	۰/۶۵
سرعت	$V(m/s)$	۱۲/۳۵	۲/۱۹۶
عدد فرود	F_r	۰/۲۶	۰/۲۶



شکل ۷ هندسه پروانه KP505

جدول ۳ مشخصات پروانه KP505

قطر	نوع	نوبت هاب	نوبت گام	نوبت پره	نوبت سطح	تعداد پره	پروفیل
۰/۲۵	FPP	۰/۱۸	۰/۱	۰/۵	۰/۵	۵	NACA66

ضرایب موجود در معادلات فوق در جدول (۱) آورده شده است:

جدول ۱ مقادیر مربوط به ضرایب مدل آشفتگی کا-اومنگا

ضریب	σ_ω^*	σ_k^*	β^*	β	α
مقدار	۲	۲	۰/۰۹	۰/۰۷۵	۰/۵۵

۱-۱- مدل سازی سطح آزاد

جهت مدل سازی سطح آزاد، از روشی بهمنظور حل جریان دوفازی به نام کسر حجمی سیال^۱ استفاده می شود. با تعریف α به عنوان نسبت حجم سیال ۱ به کل سیال، به منظور تعیین سطح آزاد از معادله زیر استفاده می شود:

$$\phi = \phi_1 \alpha + \phi_2 (1 - \alpha) \quad (8)$$

در معادله فوق ϕ به عنوان یک خاصیت فیزیکی همانند چگالی، ویسکوزیته و غیره، بیان می شود.

$$\begin{cases} \alpha = 1 & \text{درون سیال ۱} \\ \alpha = 0 & \text{درون سیال ۲} \\ 0 < \alpha < 1 & \text{مشترک دو سیال} \end{cases} \quad (9)$$

در معادلات بالا اگر برابر $0/5$ باشد، بدین معناست که سلول محاسبه شده با 50 درصد آب و 50 درصد هوا پرشده، که موقعیت سطح برخورد بین آب و هوا که موسوم به سطح آزاد است را بیان می کند.

۲-۲- مدل هندسی، دامنه حل و شبکه بندی

در پژوهش حاضر شناور مورد استفاده، شناور کانتینر بر KCS است. همچنین پروانه مورد استفاده برای شبیه سازی خودرانش، پروانه KP505 می باشد. مشخصات و ابعاد شناور و پروانه نیز به ترتیب در جداول (۲) و (۳) قابل مشاهده است.

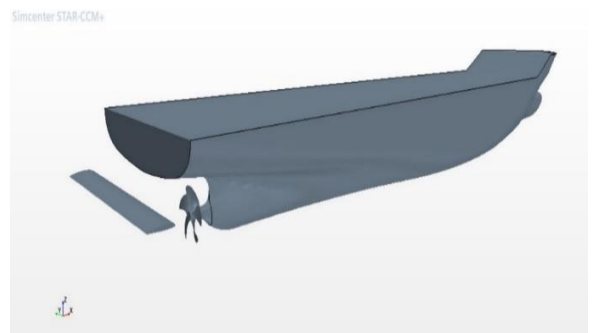
همچنین برای بررسی تأثیر تیغه بدنی با و بدون توپرکل، بر روی مقاومت و ضرایب پروانه مدل هندسی این تیغه به شکل (۸) و (۹) به بدنی شناور متصل شده است که برای کاهش حجم محاسباتی از قراردادن استراتها اجتناب شده است.

^۱ Volume of Fluid (VOF)

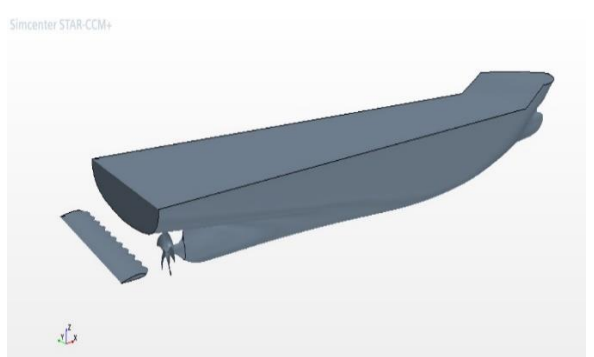
انتخاب دامنه حل یا دامنه محاسباتی، متناسب با نوع مسئله، یکی از بخش‌های مهم شبیه‌سازی و تحلیل کشتی می‌باشد. زیرا اگر دامنه محاسباتی مناسب نباشد می‌تواند سبب بروز خطأ در حل و یا افزایش هزینه محاسباتی شود. از این‌رو دامنه محاسباتی و شرایط مرزی متناسب با نوع مسئله بهصورت شکل (۱۰) نیز انتخاب گردیده است.

جدول ۴ ابعاد دامنه محاسباتی و شرایط مرزی

شرط مرزی	موقعیت	مرزها
Velocity Inlet	1.5L From FP	Inlet
Pressure Outlet	2.5L From AP	Outlet
Velocity Inlet	2.5L From CL	Sides
Velocity Inlet	2.5L From Free Surface	Bottom
Velocity Inlet	1.5L From Free Surface	Top
Internal Interface	1.15D (Propeller Diameter)	Interface



شکل ۸ هندسه تیغه بدنه بدون برآمدگی لبه حمله

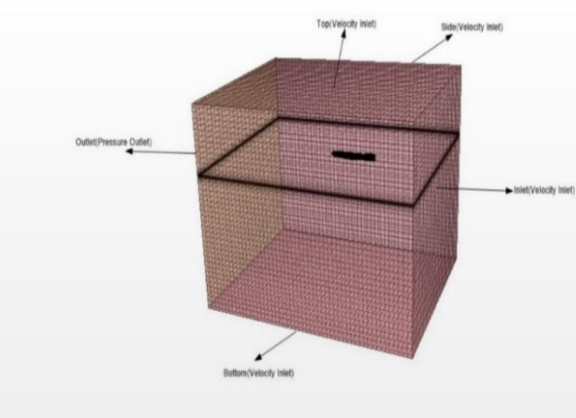


شکل ۹ هندسه تیغه بدنه با برآمدگی لبه حمله

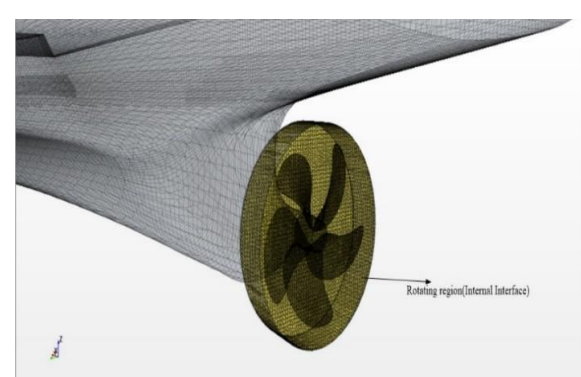
دامنه حل و شرایط مرزی در جدول (۴) نشان داده شده است. علاوه بر این بر روی بدنه شناور شرط عدم لغزش و شرط عدم نفوذ حاکم است. بنا به شرط عدم لغزش، سرعت حریان برابر صرعت بدنه شناور خواهد بود و یا به عبارت دیگر سرعت نسبی بدنه و سیال صفر خواهد بود. پس اگر V سرعت در هر یک از جهات x, y, z , در نظر گرفته شود در این صورت $V_{wall} = 0$ خواهد بود. در شرط مرزی ورودی تمامی سرعت‌ها در جهات x, y, z ثابت درنظر گرفته شده و همچنین گرادیان فشار برابر صفر است $\frac{\partial p}{\partial n} = 0$. همچنین در شرط مرزی خروجی نیز معادلات به صورت زیر درنظر گرفته شده است.

$$\begin{cases} \frac{\partial p}{\partial n} = 0 \\ \frac{\partial^2 V}{\partial n^2} = 0 \end{cases} \quad (10)$$

که در آن p فشار و V سرعت در جهات x, y, z است. به منظور شبکه‌بندی از شبکه‌های چهارگوش (شش وجهی) به منظور تولید شبکه باکیفیت بسیار بالا که مناسب برای مسائل پیچیده چند فازی بهویژه زمانی که سطح آزاد آب وجود دارد همراه با یکسری اصلاحیه‌ها در اندازه شبکه و لایه‌های مرزی در طول دیواره بدنه شناور استفاده گردید. همچنین برای ناحیه دوار، حول پروانه از شبکه چندوجهی استفاده شد. فرایند تولید

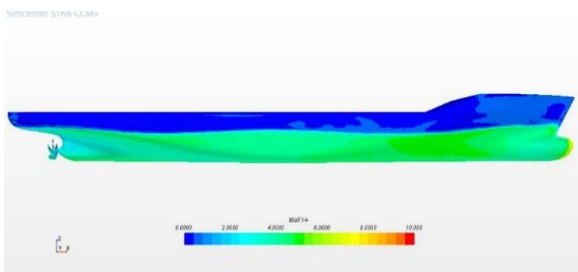
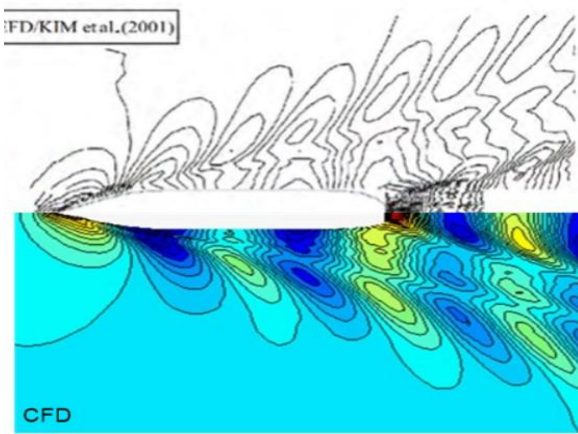


شکل ۱۰ دامنه محاسباتی برای شبیه‌سازی خودرانش



شکل ۱۱ ناحیه دوار حول پروانه

¹ Trimmed mesh

شکل ۱۴ توزیع Y^+ بر روی بدنه و پروانه

شکل ۱۵ مقایسه بین الگوی موج کلوین شناور به صورت عددی و تجربی

۳-۲- روش مدل‌سازی خودرانش و انتخاب گام زمانی

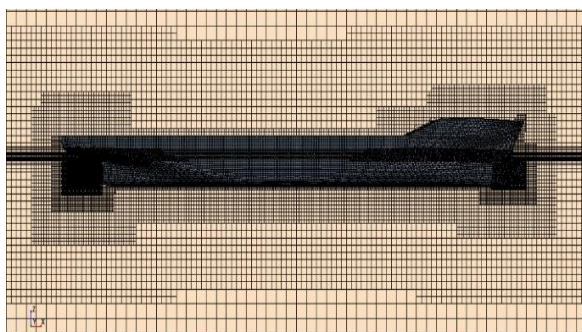
برای پیدا کردن نقطه خودرانش دو راه وجود دارد. یکی از این راه‌ها شبیه‌سازی به صورت تست تجربی است. تست تجربی که برای تست خودرانش شناور KCS انجام پذیرفت، بدین شکل است که شناور در حوضچه کشش با استفاده از ارابه کشش، کشیده شده و پروانه نیز با دور ثابت $9/5$ دور بر ثانیه دوران می‌کند؛ این در حالی است که ارابه شناور را با عدد فرود $0/26$ می‌کشد. این کار برای تعادل بین نیروها انجام می‌پذیرد. در این روش یک نیروی اضافی با عنوان اصلاح اصطکاک پوسته‌ای^۳ به وجود می‌آید که باید در نظر گرفته شود. اصلاح اصطکاک پوسته‌ای به منظور اصلاح عدم برابر بودن عدد رینولدر در مقیاس مدل و شناور با ابعاد اصلی مورد استفاده قرار می‌گیرد. معادله زیر نشان‌دهنده تعادل نیروهاست [۲۰]:

$$SFC = R_T - T \quad (11)$$

در معادله فوق R_T نیروی مقاومت کل بدنه و T نیروی تراست تولیدشده توسط پروانه است. اما راه دیگری که برای یافتن نقطه

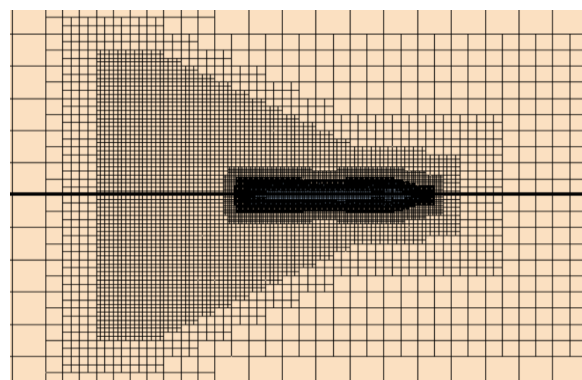
شبکه با تعیین یک اندازه پایه^۱ صورت می‌گیرد و نسبت به آن همه‌ی فاصله‌ها شامل: ضخامت لایه مرزی، اندازه‌ی سلول در نواحی موردنظر و... تعیین می‌شود [۱۹]. همچنین برای جلوگیری از افزایش تعداد سللهای در نواحی که به آن‌ها نیازی نیست، در نواحی مانند سینه، پاشنه و اطراف بدنه شناور مش ریزتری استفاده شده است.

علاوه بر این برای مدل‌سازی پروانه شناور از شبکه لغزان^۲ استفاده شده است (شکل ۱۱). به منظور تنظیم این شبکه ابتدا شناور و دیسک حول پروانه از کل دامنه حل کم شده و با یک ناحیه به شکل دیسک که پروانه از آن کم شده است، در تبادل اطلاعات است.



شکل ۱۲ توزیع مش حول بدنه برای شبیه‌سازی خودرانش

برای بهتر مدل کردن موج کلوین ایجادشده ناشی از حرکت شناور، شبکه در این نواحی ریزتر شده است که در شکل (۱۳) می‌توان آن را مشاهده کرد.



شکل ۱۳ شبکه ریز شده برای مدل کردن موج کلوین

همچنین با توجه به اینکه مدل آشفتگی k_{ω} برای شبیه‌سازی مورد استفاده قرار گرفته است، فاصله بدون بعد اولین سلول محاسباتی از دیواره به صورت شکل (۱۴) خواهد شد.

علاوه بر این شکل (۱۵) نشان‌دهنده الگوی موج کلوین تولیدشده توسط شناور است.

³ Skin Friction Correction (SFC)

¹ Base size

² Sliding Mesh

برای انتخاب گام زمانی چون از حل ضمنی نا پایا استفاده شده است، از پیشنهادهای ITTC استفاده شده است. بدین منظور برای بدنه، گام زمانی برابر $15/0$ و برای پروانه نیز طبق پیشنهاد ITTC در یک گام زمانی، پروانه باید در بازه $5/0$ تا 2 درجه بچرخد، بدین علت گام زمانی پروانه برابر $2/000$ درنظر گرفته شده است.

۳- صحت‌سنجی و اعتبارسنجی

$$\delta_G = C_G \frac{\varepsilon_{G_{21}}}{r_G^{PG} - 1} \quad (15)$$

$$U_{GC} = \begin{cases} 2.4(1 - C_G)^2 + 0/1) |\delta_{REG}^*| |1 - C_G| < 0.125 \\ |1 - C_G| |\delta_{REG}^*| |1 - C_G| \geq 0.125 \end{cases} \quad (16)$$

اگر C_G ، به اندازه کافی کمتر یا بیش تر 1 باشد، فقط عدم قطعیت عددی به صورت زیر محاسبه می‌شود:

$$U_{GC} = \begin{cases} 9.6(1 - C_G)^2 + 1.1) |\delta_{REG}^*| |1 - C_G| < 0.125 \\ (2|1 - C_G| + 1) |\delta_{REG}^*| |1 - C_G| \geq 0.125 \end{cases} \quad (17)$$

همانطور که اشاره شد سه شبکه با ابعاد g_1 , g_2 و g_3 به منظور صحت‌سنجی شبکه اتخاذ شده است. شبکه برای سه حالت ذکر شده فقط در سایز پایه باهم متفاوت‌اند. که g_1 ، شبکه ریز ($19/012$ ، $19/012$ ، $19/012$)، g_2 ، شبکه متوسط ($26/01$ ، $26/01$ ، $26/01$) و g_3 ، شبکه درشت ($46/11$ ، $46/11$ ، $46/11$) است.

جدول ۵ پارامترهای خودرانش برای صحت‌سنجی شبکه

	g_1	g_2	g_3	R_G	P_G	C_G	δ_G^*	U_{GC}	S_C	U_G
C_T	$0/00381$	$0/00378$	$0/00369$	$0/356$	$2/98$	$1/8$	$0/017$	$0/0442$	$0/0038$	-
K_T	$0/1582$	$0/1548$	$0/1462$	$0/395$	$2/68$	$1/522$	$0/0022$	$0/0068$	$0/1582$	-
K_Q	$0/0264$	$0/0272$	$0/0243$	$-0/28$	-	-	-	-	-	$0/0029$

جدول (۵) نشان‌دهنده پارامترهای صحت‌سنجی شبکه برای خودرانش است.

مراحل صحت‌سنجی و اعتبارسنجی به منظور افزایش دقیق در نتایج حل عددی، توسط ITTC پیشنهاد شده است [۲۱] که شامل طبقه‌بندی خطاهای عدم قطعیت‌های موجود آمده از مدل و حل عددی، بر اساس فرآیند پیشنهادی در مطالعات قبلی

خودرانش استفاده می‌شود استفاده از کنترلر است. یک کنترلر سرعت دورانی پروانه برای به حداقل رساندن خطأ در عدم تعادل سرعت‌ها یا مقاومت/رانش مورد استفاده قرار می‌گیرد. بدین منظور یک کنترل کننده تناسبی- انتگرالی (معمولی) که برای این منظور به کار می‌رود به صورت زیر پیاده‌سازی می‌شود:

$$n = Pe + I \int_0^t e dt \quad (12)$$

که در آن n سرعت دورانی پروانه بر حسب دور بر ثانیه (RPS)، e خطأ و P ، I ، به ترتیب ثابت‌های تناسبی و انتگرالی هستند. که انتخاب خطأ، به مواردی که در ادامه ذکر خواهد شد بستگی دارد.

- اگر کد، قابلیت شش درجه آزادی داشته باشد، پس خطأ تفاوت بین سرعت کشته V و سرعت هدف V_{target} است و سرعت دورانی پروانه توسط کنترلر برای رسیدن به سرعت هدف تغییر می‌کند [۲۱].

$$e = V_{target} - V \quad (13)$$

- اگر کد دینامیک سیالات محاسباتی دارای قابلیت شش درجه آزادی نباشد، یک کنترل کننده می‌تواند با استفاده از عدم تعادل در مقاومت F_x و نیروی رانش T برای تعریف خطأ به صورت زیر اعمال شود [۲۱]:

$$e = F_x - T \quad (14)$$

ازین رو در پژوهش حاضر از روش اول استفاده خواهد شد. برای حل سریع‌تر، مسئله به دو بخش تقسیم می‌شود. در ابتدای حل به اندازه 20 ثانیه، با گام زمانی بدنه برای به دست آوردن مقاومت و سطح خیس، حل جلو رفته و سپس برای ادامه تا 24 ثانیه، با گام زمانی پروانه، حل می‌گردد.

¹ Proportional-integral controller(PI)

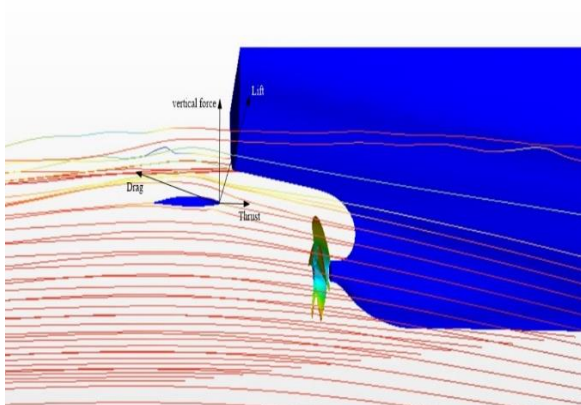
۴- نتایج

پس از صحت سنجی نتایج عددی، تأثیر تیغه بدنی با و بدون برآمدگی لبه حمله بر مقاومت و ضرایب پروانه موربررسی قرار گرفت. جدول (۷) مقایسه بین نتایج بدون تیغه بدنی و با تیغه بدنی با و بدون توبرکل در لبه حمله را نشان می‌دهد.

جدول ۷ مقایسه بین شناور بدون تیغه بدنی و با تیغه بدنی با و بدون توبرکل لبه حمله

ضریب گشتاور (K_Q)	ضریب مقاومت تراست (K_T)	ضریب کل ($\times 10^3$)	نتایج
۰/۰۲۶۲	۰/۱۵۴۸	۳/۷۸۱	بدون تیغه بدنی
۰/۰۲۵۹	۰/۱۵۰۸	۳/۷۱۴	با تیغه بدنی معمولی
۰/۰۲۵۶۹	۰/۱۴۹۴	۳/۷۱۱	با تیغه بدنی دارای توبرکل در لبه حمله

با توجه به نتایجی که در جدول (۷) آمده است، برای حالتی که شناور دارای تیغه بدنی با لبه حمله صاف است نسبت به حالت بدون تیغه بدنی، ضریب مقاومت کل ۱/۷۷ درصد، ضریب تراست پروانه ۲/۸۵۳ درصد و ضریب گشتاور پروانه ۱/۱۴ درصد کاهش یافته است. همچنین برای حالتی که بدن شناور مجهز به تیغه بدنی با لبه حمله دارای برآمدگی است نسبت به حالتی که شناور مجهز به تیغه بدنی نیست، ضریب مقاومت کل ۱/۸۵ درصد، ضریب تراست پروانه ۳/۴۸۸ درصد و ضریب گشتاور پروانه ۱/۹۴ درصد کاهش یافته است.



شکل ۱۶ جریان سیال در پاشنه شناور KCS با حضور تیغه بدنی با لبه حمله دارای برآمدگی و نیروهای ایجادشده توسط تیغه بدنی

انجام شده است [۲۲] از این رو به منظور صحت سنجی نتایج حلگر عددی، سه شبکه مختلف با نرخ اصلاح شبکه $r = \sqrt{2}$ درنظر گرفته شده است. علاوه بر این، پارامترهایی که برای صحت سنجی مورد نیاز هستند، عبارتند از: R_G ، که نشان‌دهنده نرخ همگرایی^۱، P_G ، نشان‌دهنده بزرگی دقت^۲، C_G ، نشان‌دهنده فاکتور اصلاح^۳ و δ_G^* ، نیز بیان‌کننده خطای شبکه^۴ است، و به صورت زیر تعریف می‌شوند [۲۲]:

$$R_G = \varepsilon_{G_{21}} / \varepsilon_{G_{32}}; \varepsilon_{G_{ij}} = S_{Gi} - S_{Gj} \quad (18)$$

$$P_G = \frac{\ln(\varepsilon_{G_{32}} / \varepsilon_{G_{21}})}{\ln(r_G)} \quad (19)$$

$$C_G = \frac{r_G^{P_G} - 1}{r_G^{P_{Gest}} - 1} \quad (20)$$

$$\delta_G^* = \frac{\varepsilon_{G_{21}}}{r_G^{P_G} - 1} \quad (21)$$

که در آن P_{Gest} تخمینی برای محدود کردن بزرگی دقت است، و مقدار پیشنهادی آن برابر ۲ است. برای همگرایی نوسانی $R_G < 0$ ، عدم قطعیت به این صورت تخمین زده می‌شود:

$$U_G = 1/2(S_U - S_L) \quad (22)$$

که در آن S_U و S_L ماکسیمم و مینیمم نوسان حل‌ها است. برای همگرایی مونوتونیک^۵ که در آن ($R_G < 1 < 0$)، تخمین عدم قطعیت، به دامنه C_G ، وابسته است و به این صورت محاسبه می‌شود که: اگر $1 \approx C_G \approx \delta_G^*$ و عدم قطعیت به صورت زیر قابل تعریف است:

$$U_{GC} = \text{قطعیت}$$

جدول ۶ مقایسه بین نتایج پژوهش حاضر و نتایج تجربی

SFC	ضریب گشتاور (K_Q)	ضریب تراست (K_T)	ضریب مقاومت کل ($\times 10^3$)	نتایج تجربی [۲۰]
۳۰/۲۵	۰/۰۲۸۸	۰/۱۷	۳/۹۶۶	پژوهش حاضر
۳۱/۴۲	۰/۰۲۶۲	۰/۱۵۴۸	۳/۷۸۱	درصد اختلاف
%۳/۸۶۷	%۹/۰۲	%۸/۹۴	%۴/۶۶۴	

⁴ grid error

⁵ monotonic

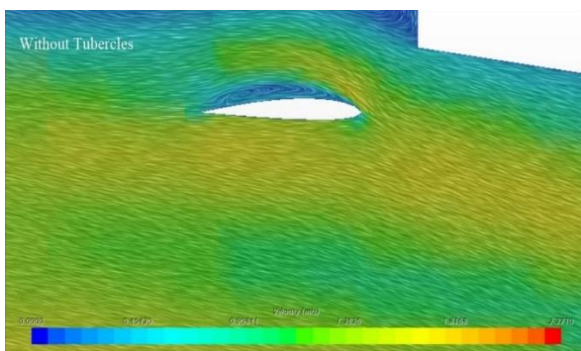
¹ Convergence ratio

² order of accuracy

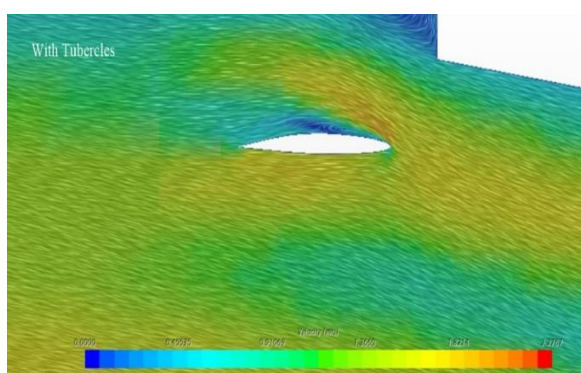
³ correction factor

همان‌طور که پیش‌تر اشاره شد یکی از دلایل کاهش مقاومت بدن در حضور تیغه بدن، کاهش موج پاشنه با ایجاد یک فشار منفی در زیر سطح آب می‌باشد. شکل‌های (۱۷)، (۱۸) و (۱۹) نیز به ترتیب مقایسه‌ای بین شناور بدون تیغه بدن و شناور با تیغه بدن معمولی، شناور بدون تیغه بدن با شناور با تیغه بدن دارای برآمدگی در لبه حمله و مقایسه بین شناور مجهز به تیغه بدن با و بدون برآمدگی لبه حمله را نشان می‌دهد. همان‌طور که در شکل‌های فوق نیز مشاهده می‌شود، وجود تیغه بدن سبب کاهش موج پاشنه و درنتیجه کاهش مقاومت می‌شود. از طرفی مقایسه شناور دارای تیغه بدن با و بدون توپرکل، اختلاف زیادی را در موج پاشنه نشان نمی‌دهد، اما به دلیل ایجاد تأخیر در جدایش جریان برای تیغه بدن دارای توپرکل مقاومت کل و در نتیجه تراست و گشتاور لازم نیز کاهش می‌باید.

شکل‌های (۲۰) و (۲۱) بردارهای سرعت را به ترتیب بر روی تیغه بدن با و بدون توپرکل در پاشنه شناور را نشان می‌دهد.



شکل ۲۰ بردارهای سرعت برای تیغه بدن بدون توپرکل

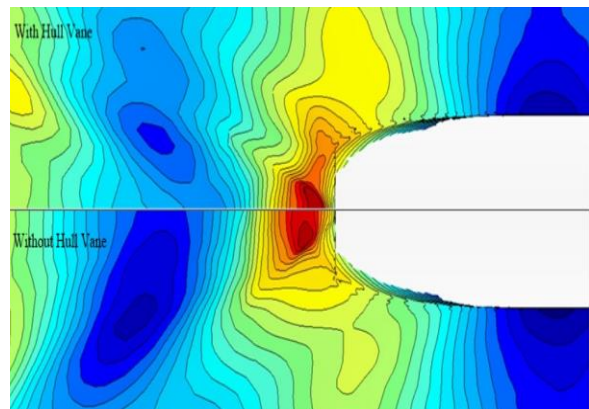


شکل ۲۱ بردارهای سرعت برای تیغه بدن توپرکل

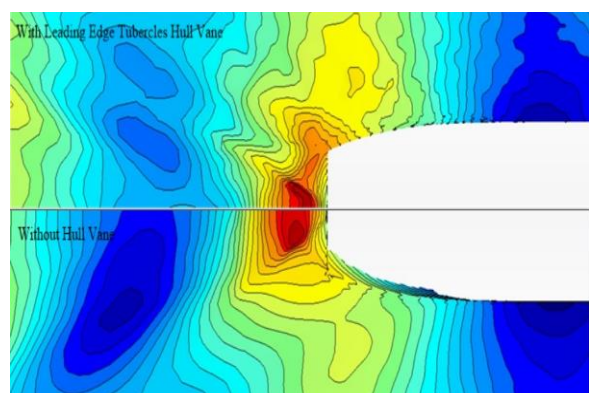
همان‌طور که از شکل‌های (۲۰) و (۲۱) برمی‌آید، حضور توپرکل در لبه حمله سبب به تأخیر افتادن جدایش جریان به علت افزایش ممنتوم جریان شده است، که این امر موجب افزایش لیفت، کاهش فشار زیر سطح آب و کاهش مقاومت

در نتیجه بررسی صورت گرفته نشان می‌دهد که تیغه بدن دارای برآمدگی در لبه حمله نسبت به تیغه بدن با لبه حمله صاف، تأثیر مناسب‌تری را بر روی مقاومت و ضرایب پروانه شناور بر جای می‌گذارد.

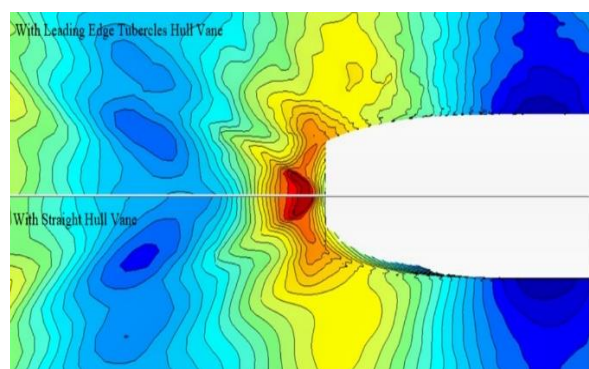
همان‌طور که در فصل اول و دوم نیز اشاره شد علت عملکرد مؤثر تیغه بدن در پاشنه شناور، جهت حرکت جریان سیال در این ناحیه است که در شکل (۱۶) این امر در شبیه‌سازی صورت گرفته نشان‌دهنده شده است.



شکل ۱۷ مقایسه موج پاشنه برای شناور با و بدون تیغه بدن



شکل ۱۸ مقایسه موج پاشنه برای شناور با و بدون تیغه بدن با لبه حمله دارای برآمدگی



شکل ۱۹ مقایسه موج پاشنه برای شناور مجهز به تیغه بدن با و بدون توپرکل لبه حمله

جدول ۸ توان مصرفی برای شناور بدون تیغه بدن، با تیغه بدن
معمولی و با تیغه بدن دارای توبرکل

توان مصرفی(وات)	حالتهای مختلف
۲۱/۸۵	بدون تیغه بدن
۲۱/۶۶	با تیغه بدن معمولی
۲۱/۴۸۹	با تیغه بدن دارای توبرکل در لبه حمله

همان طور که در جدول(۸) آمده است توان مصرفی برای
حالتی که کشتی دارای تیغه بدن با برآمدگی در لبه حمله است
نسبت به حالتی که دارای تیغه بدن معمولی است $\% / ۷۸۹$
کاهش یافته است.

۵- نتیجه‌گیری

با توجه به نتایج ارائه شده در بخش قبل، تیغه بدن به خودی خود
می‌تواند تأثیر مناسبی را بر روی مقاومت و بازدهی پروانه بگذارد.
با این وجود اضافه کردن توبرکل به لبه حمله آن، این نتایج را
بهبود می‌بخشد. البته این نتایج به پارامترهای دیگری از جمله
موقعیت تیغه بدن در پاشنه شناور، زاویه حمله، شکل توبرکل‌ها،
تعداد، دامنه و طول موج توبرکل‌ها بستگی دارد. درنتیجه برای
به دست آوردن نتایج بهتر پارامترهای ذکر شده باید بهینه شوند.
علت بهبود نتایج پس از قرارگیری توبرکل بر لبه حمله تیغه
بدنه همانطور که پیش‌تر اشاره شد به تأخیر افتادن جدایش
جریان به علت تولید گردابه و افزایش ممنتوم جریان به وسیله
توبرکل‌ها می‌باشد. تأخیر در جدایش جریان سبب افزایش
نسبت لیفت به درگ می‌شود که این امر موجب افزایش نیروی
تراست اضافی توسط تیغه بدن می‌شود، از طرفی با ایجاد
ناحیه‌ای با فشار کمتر در قسمت بالایی تیغه بدن، موج پاشنه
کاهش می‌یابد و در نهایت مقاومت موج‌سازی نیز کاهش خواهد
یافت. یکی دیگر از تأثیراتی که تأخیر در جدایش به همراه دارد،
کاهش مقاومت ویسکوز فشاری است که به صورت اختلاف فشار
سینه و پاشنه شناور تعریف می‌شود. با تأخیر در جدایش جریان،
فشار لبه فرار نسبت به حالتی که توبرکل‌ها حضور ندارند بیشتر
شده و اختلاف فشار سینه و پاشنه نیز کاهش می‌یابد. که این
به معنای کاهش مقاومت ویسکوز فشاری است.

نتایج پژوهش حاضر حاکی از بهبود عملکرد تیغه بدن در
حضور توبرکل هست که نتایج آن بر ضریب مقاومت کل، ضریب
تراست و ضریب گشتاور پروانه در بخش قبل مورد بحث قرار

موج‌سازی می‌شود و همچنین به علت افزایش فشار در ناحیه
لبه فرار به سبب کاهش سرعت، باعث کاهش مقاومت ویسکوز
فشاری شده است.

همچنین، توان مؤثر، نیروی لازم جهت حرکت روبه‌جلوی
کشتی با سرعت ثابت است. بنابراین به صورت تابعی از سرعت و
مقاومت کل بیان می‌شود. از توان مؤثر می‌توان بهمنظور
مؤلفه‌ای جهت محاسبه مصرف سوخت شناور استفاده کرد. از
طرفی مصرف سوخت به عواملی همچون بار موتور، مصرف
سوخت مخصوص، سرعت پروانه و بسیاری از دیگر موارد مرتبط
با شرایط عملیاتی کشتی و ... بستگی دارد، امکان محاسبه
مستقیم آن وجود ندارد، با این حال می‌توان درصد کاهش توان
ناشی از کاهش ضریب مقاومت کل با حضور تیغه بدن با و بدون
لبه حمله دارای برآمدگی، نسبت به شناور بدون تیغه بدن از
رابطه زیر محاسبه کرد:

$$\% Decrease P_E = \frac{C_{T,WOHV} - C_{T,HWOT}}{C_{T,WOHV}} \times 100 \quad (23)$$

$$\% Decrease P_E = \frac{C_{T,WOHV} - C_{T,HWT}}{C_{T,WOHV}} \times 100 \quad (24)$$

در معادلات فوق، $C_{T,WOHV}$ ضریب مقاومت کل شناور
بدون حضور تیغه بدن، $C_{T,HWOT}$ ضریب مقاومت کل شناور
با حضور تیغه بدن بدون توبرکل و $C_{T,HWT}$ ضریب مقاومت
کل شناور با حضور تیغه بدن با وجود توبرکل و P_E توان مؤثر
می‌باشد.

با فرض ثابت بودن راندمان و مصرف سوخت مخصوص
کشتی، معادلات (۲۲) و (۲۳) نشان‌دهنده درصد کاهش مصرف
سوخت کشتی و انتشار گاز کربن‌دی‌اکسیدی است. از این‌رو
زمانی که شناور مجهز به تیغه بدن بدون توبرکل است، مصرف
سوخت $1/۷۷\%$ و برای تیغه بدن با توبرکل $1/۸۵\%$ کاهش
می‌یابد.

علاوه بر این توان مصرفی (توان تحويل داده شده به پروانه)
که برابر حاصل‌ضرب گشتاور در سرعت زاویه‌ای است، برای
حالتهای مختلف مورد بررسی، در جدول (۸) آمده است.

$$P_D = \omega Q \quad (25)$$

در معادله فوق P_D توان تحويلی به پروانه، ω دور پروانه و Q
گشتاور پروانه است.

² SFOC: Specific Fuel Oil Consumption

¹ Engine Load

- in *IOP Conference Series: Earth and Environmental Science*, 2021, vol. 649, no. 1: IOP Publishing, p. 012051, DOI: 10.1088/1755-1315/649/1/012051.
- [8] F. E. Fish, L. E. Howle, and M. M. Murray, "Hydrodynamic flow control in marine mammals," *Integrative and comparative biology*, vol. 48, no. 6, pp. 788-800, 2008, <https://doi.org/10.1093/icb/icn029>.
- [9] J. Hain, G. Carter, S. Kraus, C. Mayo, and H. Winn, "Megaptera Novaehangliae, in the Western North Atlantic," *Fish Bull*, vol. 80, p. 259, 1982 <https://books.google.com/books>.
- [10] F. E. Fish, P. W. Weber, M. M. Murray, and L. E. Howle, "The tubercles on humpback whales' flippers: application of bio-inspired technology," ed: Oxford University Press, 2011, <https://doi.org/10.1093/icb/icr016>.
- [11] F. E. Fish and J. M. Battle, "Hydrodynamic design of the humpback whale flipper," *Journal of morphology*, vol. 225, no. 1, pp. 51-60, 1995, <https://doi.org/10.1002/jmor.1052250105>.
- [12] R. S. Shevell, "Aerodynamic anomalies-Can CFD prevent or correct them?," *Journal of Aircraft*, vol. 23, no. 8, pp. 641-649, 1986, <https://doi.org/10.2514/3.45356>.
- [13] P. Watts and F. E. Fish, "The influence of passive, leading edge tubercles on wing performance," in *Proc. Twelfth Intl. Symp. Unmanned Untethered Submers. Technol*, 2001: Auton. Undersea Syst. Inst. Durham New Hampshire. <http://www.appliedfluids.com/UUST01.pdf>.
- [14] E. G. Paterson, R. V. Wilson, and F. Stern, "General-purpose parallel unsteady RANS ship hydrodynamics code: CFDSHIP-IOWA," *IIHR report*, vol. 432, 2003, <https://doi.org/10.5957/FAST-2015-012>.
- [15] F. Fish and G. V. Lauder, "Passive and active flow control by swimming fishes and mammals," *Annu. Rev. Fluid Mech.*, vol. 38, pp. 193-224, 2006, <https://doi.org/10.1146/annurev.fluid.38.050304.092201>.
- [16] F. E. Fish, "Biomimetics and the application of the leading-edge tubercles of the humpback whale flipper," *Flow control through bio-inspired leading-edge tubercles: morphology, aerodynamics, hydrodynamics and applications*, pp. 1-39, 2020, https://doi.org/10.1007/978-3-030-23792-9_1.
- [17] D. Miklosovic, M. Murray, L. Howle, and F. Fish, "Leading-edge tubercles delay stall on humpback whale (Megaptera novaeangliae)

گرفت. برای حالتی که شناور دارای تیغه بدن با لبه حمله صاف است نسبت به حالت بدون تیغه بدن، ضریب مقاومت کل ۱/۷۷ درصد، ضریب تراست پروانه ۲/۸۵۳ درصد و ضریب گشتاور پروانه ۱/۱۴ درصد، کاهش یافته است. همچنین برای حالتی که بدن شناور مجهز به تیغه بدن با لبه حمله دارای برآمدگی است، نسبت به حالتی که شناور مجهز به تیغه بدن نیست، ضریب مقاومت کل ۱/۸۵ درصد، ضریب تراست پروانه ۳/۴۸۸ درصد و ضریب گشتاور پروانه ۱/۹۴ درصد کاهش یافته است.

۶- مراجع

- [1] B. Bouckaert, K. Uithof, N. Moerke, and P. Van Oossanen, "Hull Vane on 108m Holland-Class OPVs: Effects on Fuel Consumption and Seakeeping," in *Proceeding of MAST Conference*, 2015. <https://www.hullvane.com/wp-content/uploads/2017/01/MAST-2016-Paper-Hull-Vane-on-108-m-Holland-Class-OPV-effects-on-fuel-consumption-and-seakeeping-1.pdf>.
- [2] I. Andrews, V. K. Avala, P. K. Sahoo, and S. Ramakrishnan, "Resistance characteristics for high-speed hull forms with vanes," in *SNAME International Conference on Fast Sea Transportation*, 2015: SNAME, p. D011S003R001, <https://doi.org/10.5957/FAST-2015-012>.
- [3] H. Hou, M. Krajewski, Y. K. Ilter, S. Day, M. Atlar, and W. Shi, "An experimental investigation of the impact of retrofitting an underwater stern foil on the resistance and motion," *Ocean Engineering*, vol. 205, p. 107290, 2020, <https://doi.org/10.1016/j.oceaneng.2020.107290>.
- [4] K. Suastika, A. Hidayat, and S. Riyadi, "Effects of the application of a stern foil on ship resistance: A case study of an Orela crew boat," *International Journal of Technology*, vol. 8, no. 7, pp. 1266-1275, 2017, <https://doi.org/10.14716/ijtech.v8i7.691>.
- [5] V. K. Avala, "CFD Analysis of Resistance Characteristics of High-Speed Displacement Hull Forms fitted with Hull Vane®," 2017. <https://repository.fit.edu/etd/1127/>.
- [6] M. A. Budiyanto, M. A. Murdianto, and M. F. Syahrudin, "Study on the resistance reduction on high-speed vessel by application of stern foil using cfd simulation," *CFD Letters*, vol. 12, no. 4, pp. 35-42, 2020. <https://scholar.ui.ac.id/en/publications/study-on-the-resistance-reduction-on-high-speed-vessel-by-applica>.
- [7] U. Budiarto and A. Firdhaus, "Analysis of the effect of hull vane on ship resistance using CFD methods,"

flippers," *Physics of fluids*, vol. 16, no. 5, pp. L39-L42, 2004, <https://doi.org/10.1063/1.1688341>.

[18] F. Fish, "The humpback whale flipper for application of bio-inspired tubercle technology," in *INTEGRATIVE AND COMPARATIVE BIOLOGY*, 2011, vol. 51: OXFORD UNIV PRESS INC JOURNALS DEPT, 2001 EVANS RD, CARY, NC 27513 USA, pp. E42-E42, <https://doi.org/10.1093/icb/icr016>.

[19] J. Kim, "Experimental Data for KCS Resistance, Sinkage, Trim, and Self-propulsion," in *Numerical Ship Hydrodynamics: An Assessment of the Tokyo 2015 Workshop*, 2021: Springer, pp. 53-59, https://doi.org/10.1007/978-3-030-47572-7_3.

[20] I. R. Procedures, "Uncertainty analysis in CFD verification and validation, methodology and procedures," *ITTC Recommended Procedures and Guidelines*, pp. 7.5-03, 2017, <https://www.ittc.info/media/8153/75-03-01-01.pdf>.

[21] F. Stern, R. V. Wilson, H. W. Coleman, and E. G. Paterson, "Comprehensive approach to verification and validation of CFD simulations—part 1: methodology and procedures," *J. Fluids Eng.*, vol. 123, no. 4, pp. 793-802, 2001, <https://doi.org/10.1115/1.1412235>.

[22] A. Hasanvand, A. Hajivand, and N. A. Ali, "Investigating the effect of rudder profile on 6DOF ship course-changing performance," *Applied Ocean Research*, vol. 117, p. 102944, 2021, <https://doi.org/10.1016/j.apor.2021.102944>.